

多次元自己回帰モデルによる解析について

和田 正 長谷部 正考

1 まえがき

本研究では、従来、時系列の解析のモデルとして用いられる自己回帰モデルを拡張した多次元自己回帰モデル(本例では5変数)を応用する。一般に流出計算において複数の降水量観測所の資料を用いる場合には、 T_{i-t} を法で求めた平均雨量を用いて計算するのが普通である。この拡張モデルを採用すると各降水量を、その変数として用いて流量の解析と予測ができる。本例での解析対象は、雄物川水系柳田橋流量(A=476.5 Km²)、降水量としては、湯沢、院内、湯の袋、秋の宮の4観測所である。その解析単位は日単位である。

2. 多次元自己回帰モデル

多次元自己回帰モデルは、次の様子を構造マトリクスで表わされる。(5変数)

	1	2	3	4	5
1	1	0	0	0	0
2	1	1	0	0	0
3	1	0	1	0	0
4	1	0	0	1	0
5	1	0	0	0	1

ここで各要素を δ_{ij} とすれば

$i \rightarrow j$ に影響を及ぼす場合 $\delta_{ij} = 1$

$i \rightarrow j$ に影響を及ぼさない場合 $\delta_{ij} = 0$

- 1, 柳田橋流量 2, 湯沢降水量 3, 院内降水量
4, 湯の袋降水量 5, 秋の宮降水量

上記の構造マトリクスを設けると柳田橋のモデル式は (1) となる。

$$\begin{aligned}
 y_t^1 &= \delta_{11}(a_{11}^1 y_{t-1}^1 + a_{12}^1 y_{t-2}^1 + \dots + a_{1M}^1 y_{t-M}^1) \\
 &+ \delta_{21}(a_{11}^2 y_{t-1}^2 + a_{12}^2 y_{t-2}^2 + \dots + a_{1M}^2 y_{t-M}^2) \\
 &+ \delta_{31}(a_{11}^3 y_{t-1}^3 + a_{12}^3 y_{t-2}^3 + \dots + a_{1M}^3 y_{t-M}^3) \\
 &+ \delta_{41}(a_{11}^4 y_{t-1}^4 + a_{12}^4 y_{t-2}^4 + \dots + a_{1M}^4 y_{t-M}^4) \\
 &+ \delta_{51}(a_{11}^5 y_{t-1}^5 + a_{12}^5 y_{t-2}^5 + \dots + a_{1M}^5 y_{t-M}^5) \dots \dots \dots (1)
 \end{aligned}$$

(1) 式の $a_{11}^1 \dots a_{1M}^1$ は最小自乗法で決定される。本例では (2) となる。M: 次数

$$\begin{pmatrix} R_0^{11} & R_0^{12} & \dots & R_0^{1M} \\ R_{1-M}^{11} & R_{1-M}^{12} & \dots & R_{1-M}^{1M} \\ \vdots & \vdots & \ddots & \vdots \\ R_{1-M}^{M1} & R_{1-M}^{M2} & \dots & R_{1-M}^{MM} \end{pmatrix} \begin{pmatrix} a_{11}^1 \\ a_{11}^2 \\ \vdots \\ a_{11}^M \end{pmatrix} = \begin{pmatrix} R_0^{11} \\ R_{1-M}^{11} \\ \vdots \\ R_{1-M}^{M1} \end{pmatrix} \dots \dots \dots (2)$$

(1) 式による次数Mを決定しなければいけない。これは亦三による下、P、E (final-prediction-error) により決定するとよい。(1) 式モデルの y_t^1 と実測 y_t の差を $\eta_t^1 = y_t - y_t^1$ とすると (3) で

$$J^1 = \sum_{t=1}^N (\eta_t^1)^2 / N \dots \dots \dots (4)$$

J¹ を定めて、その最小値 F.P.E (M) は (4) 式となる。

$$F.P.E(M) = \frac{N+M+1}{N-M-1} J^1 \dots \dots \dots (4)$$

M: データ数

3 適用例

本解析での柳田橋流量を日単位で6月, 7月, 8月, 9月, 10月と5ヶ月間のデータを用いて解析と予測を試みた。F.P.E(M)による次数の決定の結果を表-1に示す。これによるとM=4である。

しかしM=4, 5, 6とほとんど変化してない。モデル簡便を考慮してM=4とする。

次にM=4とした3ヶ月のデータを示す。

$(a_1^{11} \sim a_6^{11})$	0.323, 0.120, 0.173, 0.042
$(a_1^{12} \sim a_6^{12})$	0.178, -0.063, -0.055, -0.013
$(a_1^{13} \sim a_6^{13})$	0.337, 0.021, 0.056, 0.048
$(a_1^{14} \sim a_6^{14})$	0.161, -0.076, -0.155, -0.092
$(a_1^{15} \sim a_6^{15})$	0.010, 0.078, 0.154, -0.064

$F.P.E(2)$	$= 0.2834$
$F.P.E(3)$	$= 0.2776$
$F.P.E(4)$	$= 0.2725$
$F.P.E(5)$	$= 0.2730$
$F.P.E(6)$	$= 0.2732$
$F.P.E(7)$	$= 0.2789$

表-1

表-2

6, 7, 8, 9, 10の各月を日単位で3ヶ年予測して、その月平均値と標準偏差を計算し、実測値のそれらと比較したものを図-1に示す。

日単位で予測したものを平均して月平均値を示せば、図-1から良好であることがわかる。日単位での予測では、ばらつきが大きいので1日、1日の予測は必ずしも一致しないが、この様に月平均値に近づけるとモデルも妥当であると考えられる。

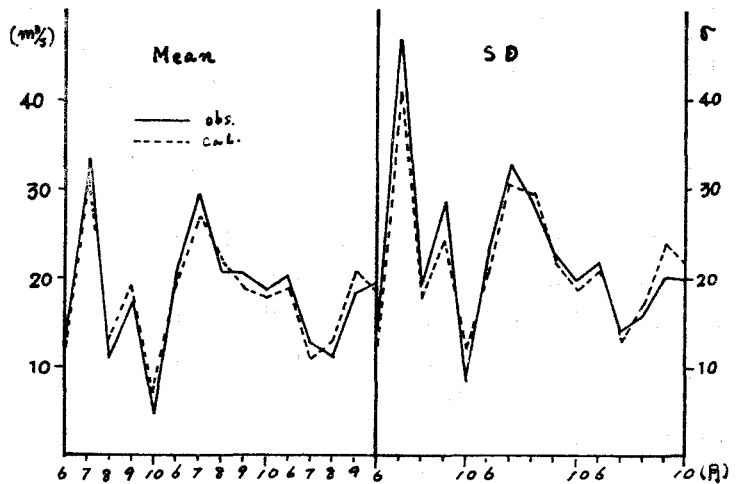


図-1

参考文献

- 得丸英勝; 環境汚染予測モデルと環境計画, 自動制御技術
- 得丸, 福田, 清水; 大気汚染データの予測に関する研究
- 中川, 赤池; ダイナミックシステムの統計解析と制御, サイエンス社